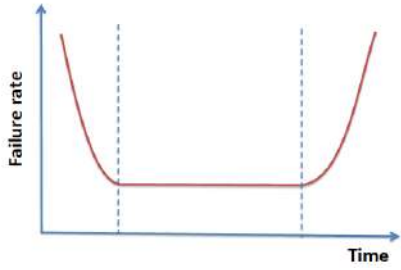
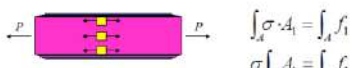
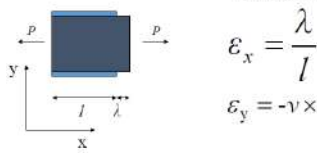
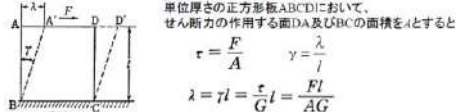
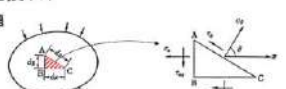
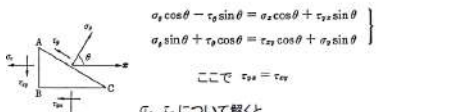


<p>パワーデバイス実装信頼性</p> <p>横浜国立大学 渋谷 忠弘</p>	
<p>講義内容</p> <ol style="list-style-type: none"> 1. 信頼性工学、材料の基礎 2. パワーデバイス実装の動向と信頼性の課題 3. パワーデバイス実装における故障モード 4. 次世代パワーデバイスの信頼性 	
<p>バスタブ曲線</p>  <p>The graph shows Failure rate on the vertical axis and Time on the horizontal axis. A red curve starts at a high point on the left, drops to a flat horizontal line in the middle, and then rises sharply towards the right.</p>	
<p>故障率関数</p> <ul style="list-style-type: none"> ・ある時間tまでに動作していたアイテムがその後の単位時間で故障する確率 ・条件付き確率 (時間tまで故障しない確率R(t)の条件下、そのアイテムが故障する確率) $h(t) = \frac{f(t)}{1-F(t)} = \frac{f(t)}{R(t)}$	
<p>指数分布(故障率が一定の場合)</p> $h(t) = \lambda$ $R(t) = \exp - \left\{ \int_0^t h(t) dt \right\} = \exp(-\lambda t)$ $F(t) = 1 - R(t) = 1 - \exp(-\lambda t)$ $f(t) = -\frac{R(t)}{dt} = \lambda \exp(-\lambda t)$ $\text{MTTF} = \frac{1}{\lambda}$	

■ A10 【パワーモジュールの信頼性評価】渋谷講師

<p>ワイブル分布</p> $f(t) = \frac{\alpha}{\beta} \left(\frac{t-\gamma}{\beta} \right)^{\alpha-1} \exp \left\{ -\left(\frac{t-\gamma}{\beta} \right)^{\alpha} \right\}$ $F(t) = 1 - \exp \left\{ -\left(\frac{t-\gamma}{\beta} \right)^{\alpha} \right\}$ $h(t) = \frac{\alpha}{\beta} \left(\frac{t-\gamma}{\beta} \right)^{\alpha-1}$																															
<p>バスタブ曲線とワイブル分布</p>																															
<p>破壊確率の算定モデル</p>																															
<p>例題. 強度・応力とも正規分布に従う場合</p> <p>例題.以下の条件で破壊確率を求めよ</p> $\bar{x}_R = 200 \text{ MPa}, \bar{x}_L = 100 \text{ MPa}$ $P_f = \int_{-\infty}^0 f_z(z) dz$ $\sigma_R = 40 \text{ MPa}, \sigma_L = 20 \text{ MPa}$ $z = x_R - x_L$ $\eta = \sigma_R / \bar{x}_R = \sigma_L / \bar{x}_L$ <table border="1"> <thead> <tr> <th>\bar{x}_R / \bar{x}_L</th> <th>0.07</th> <th>0.10</th> <th>0.15</th> <th>0.20</th> <th>0.25</th> </tr> </thead> <tbody> <tr> <td>1.20</td> <td>0.03369</td> <td>0.10021</td> <td>0.19867</td> <td>0.26103</td> <td>0.30428</td> </tr> <tr> <td>1.50</td> <td>0.00004</td> <td>0.00277</td> <td>0.03223</td> <td>0.08276</td> <td>0.13363</td> </tr> <tr> <td>2.00</td> <td>0.00000</td> <td>0.00000</td> <td>0.00143</td> <td>0.01267</td> <td>0.03882</td> </tr> <tr> <td>3.00</td> <td>0.00000</td> <td>0.00000</td> <td>0.00001</td> <td>0.00078</td> <td>0.00571</td> </tr> </tbody> </table>	\bar{x}_R / \bar{x}_L	0.07	0.10	0.15	0.20	0.25	1.20	0.03369	0.10021	0.19867	0.26103	0.30428	1.50	0.00004	0.00277	0.03223	0.08276	0.13363	2.00	0.00000	0.00000	0.00143	0.01267	0.03882	3.00	0.00000	0.00000	0.00001	0.00078	0.00571	
\bar{x}_R / \bar{x}_L	0.07	0.10	0.15	0.20	0.25																										
1.20	0.03369	0.10021	0.19867	0.26103	0.30428																										
1.50	0.00004	0.00277	0.03223	0.08276	0.13363																										
2.00	0.00000	0.00000	0.00143	0.01267	0.03882																										
3.00	0.00000	0.00000	0.00001	0.00078	0.00571																										
<p>材料の機械的性質</p> <p>名称と定義(社団法人 日本材料学会編“機械材料学”より抜粋)</p> <table border="1"> <thead> <tr> <th>名称</th> <th>定義</th> <th>備考</th> </tr> </thead> <tbody> <tr> <td>ヤング率</td> <td>比例限以下での応力とひずみの比</td> <td></td> </tr> <tr> <td>ボアソン比</td> <td>横ひずみと縦ひずみの比</td> <td></td> </tr> <tr> <td>弹性限</td> <td>塑性ひずみを生じない最大応力</td> <td></td> </tr> <tr> <td>引張強さ</td> <td>公称引張応力一ひずみ線図での最大応力</td> <td></td> </tr> <tr> <td>破断応力</td> <td>破断時の公称応力</td> <td></td> </tr> <tr> <td>0.2%耐力</td> <td>0.2%塑性ひずみを生ずる応力</td> <td></td> </tr> <tr> <td>伸び</td> <td>破断時における公称ひずみ</td> <td></td> </tr> <tr> <td>加工硬化指数</td> <td>真応力ひずみ線図をべき乗関数で近似したときの指數</td> <td>n値</td> </tr> </tbody> </table>	名称	定義	備考	ヤング率	比例限以下での応力とひずみの比		ボアソン比	横ひずみと縦ひずみの比		弹性限	塑性ひずみを生じない最大応力		引張強さ	公称引張応力一ひずみ線図での最大応力		破断応力	破断時の公称応力		0.2%耐力	0.2%塑性ひずみを生ずる応力		伸び	破断時における公称ひずみ		加工硬化指数	真応力ひずみ線図をべき乗関数で近似したときの指數	n値				
名称	定義	備考																													
ヤング率	比例限以下での応力とひずみの比																														
ボアソン比	横ひずみと縦ひずみの比																														
弹性限	塑性ひずみを生じない最大応力																														
引張強さ	公称引張応力一ひずみ線図での最大応力																														
破断応力	破断時の公称応力																														
0.2%耐力	0.2%塑性ひずみを生ずる応力																														
伸び	破断時における公称ひずみ																														
加工硬化指数	真応力ひずみ線図をべき乗関数で近似したときの指數	n値																													

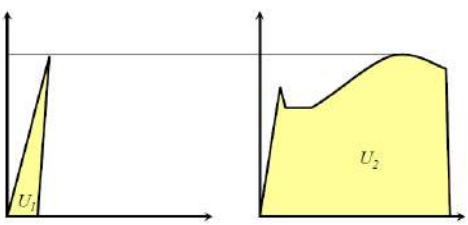
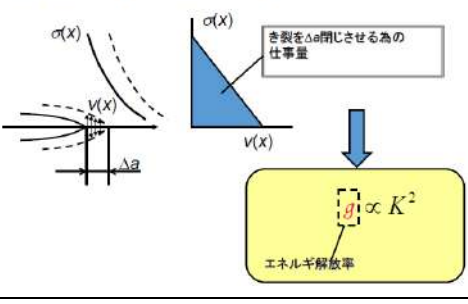
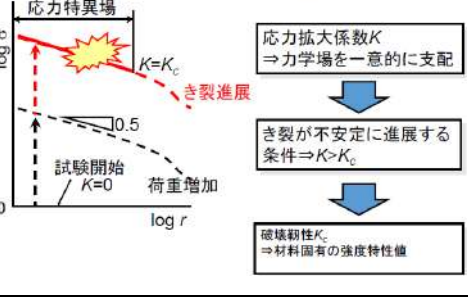
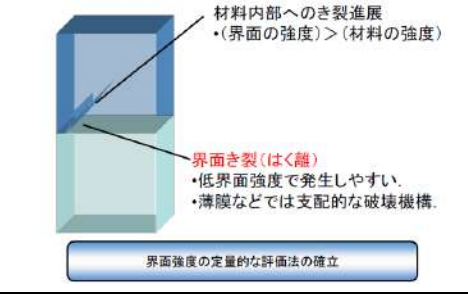
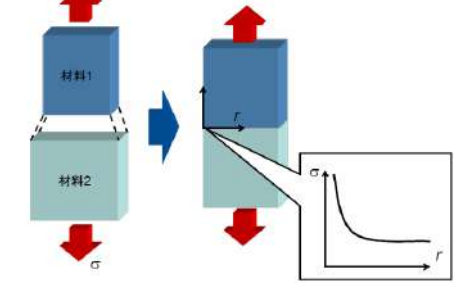
■ A10 【パワーモジュールの信頼性評価】渋谷講師

<h3>応力(Stress)</h3> <p>断面全体では</p>  $\int_A \sigma \cdot dA = \int_A f_1$ $\sigma \int_A dA = \int_A f_1$ $\sigma \cdot A = P$ $\sigma = \frac{P}{A}$ <p>$\sigma \cdot A = P$ 銄合方程式 内力の合計=外部負荷</p>	
<h3>ひずみ(Strain)</h3> <p>フックの法則と弾性係数</p> <p>引張り・圧縮</p> <p>σ: 垂直応力 ε: 垂直ひずみ E: 縦弾性係数(ヤング率) ν: ポアソン比</p>  $\varepsilon_x = \frac{\lambda}{l}$ $\varepsilon_y = -\nu \times \varepsilon_x$	
<h3>せん断変形</h3> <p>単位厚さの正方形板ABCDにおいて、せん断力の作用する面DA及びBCの面積をAとする</p>  $\tau = \frac{F}{A}$ $\gamma = \frac{\lambda}{l}$ $\lambda = \gamma l = \frac{\tau}{G} l = \frac{Fl}{AG}$ <p>OK (釣り合う) NG (釣り合わない) OK (釣り合う)</p>	
<h3>応力の変換(1)</h3> <p>二次元応力問題</p>  <p>$\sigma_x \cos \theta \cdot dx - \tau_x \sin \theta \cdot dx - \sigma_x dy - \tau_{xy} dx = 0$</p> <p>$\sigma_x \sin \theta \cdot dx + \tau_x \cos \theta \cdot dx - \tau_{xy} dy - \sigma_y dx = 0$</p> <p>周辺をみて割り、さらに</p> $\frac{dy}{dx} = \tan \theta \quad \frac{d\theta}{dx} = \sin \theta \quad \text{より}$ $\sigma_x \cos \theta - \tau_x \sin \theta = \sigma_x \cos \theta + \tau_{xy} \sin \theta$ $\sigma_x \sin \theta + \tau_x \cos \theta = \tau_{xy} \cos \theta + \sigma_y \sin \theta$	
<h3>応力の変換(2)</h3>  <p>$\sigma_x \cos \theta - \tau_x \sin \theta = \sigma_x \cos \theta + \tau_{xy} \sin \theta$</p> <p>$\sigma_x \sin \theta + \tau_x \cos \theta = \tau_{xy} \cos \theta + \sigma_y \sin \theta$</p> <p>ここで $\tau_{xy} = \tau_{yx}$</p> <p>σ_x, τ_xについて解くと</p> $\sigma_x = \sigma_x \cos^2 \theta + \sigma_y \sin^2 \theta + 2 \tau_{xy} \sin \theta \cos \theta$ $\tau_x = -(\sigma_x - \sigma_y) \sin \theta \cos \theta + \tau_{xy} (\cos^2 \theta - \sin^2 \theta)$ <p>書き直すと</p> $\sigma_x = \frac{\sigma_x + \sigma_y}{2} + \frac{\sigma_x - \sigma_y}{2} \cos 2\theta + \tau_{xy} \sin 2\theta \quad \cdots (*)$ $\tau_x = -\frac{\sigma_x - \sigma_y}{2} \sin 2\theta + \tau_{xy} \cos 2\theta$	

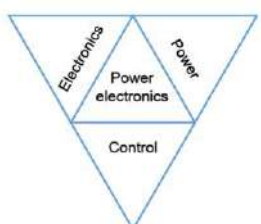
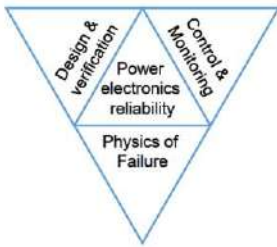
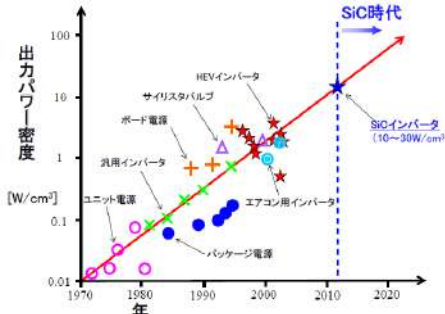
■ A10 【パワーモジュールの信頼性評価】渋谷講師

<p>von Misesの降伏条件</p> <p>相当応力</p> $\sigma_v = \sqrt{\frac{1}{2} [(\sigma_x - \sigma_y)^2 + (\sigma_y - \sigma_z)^2 + (\sigma_z - \sigma_x)^2 + 6(\tau_{xy}^2 + \tau_{yz}^2 + \tau_{zx}^2)]}$ <p>✓塑性変形→すべり変形(せん断変形)の集積 ✓せん断変形が臨界値に達したときに降伏の開始 ✓金属材料の延性破壊などでは良く一致する。 ✓数値解析のアルゴリズムにおいて適用しやすい。</p>	
<p>ひずみの変換</p> <p>応力の変換</p> $\sigma_x = \frac{\sigma_x + \sigma_y}{2} + \frac{\sigma_x - \sigma_y}{2} \cos 2\theta + \tau_{xy} \sin 2\theta$ $\sigma_y = -\frac{\sigma_x - \sigma_y}{2} \sin 2\theta + \tau_{xy} \cos 2\theta$ <p>ひずみの変換</p> $\epsilon_x = \epsilon_x \cos^2 \theta + \epsilon_z \sin^2 \theta + \gamma_{xz} \cos \theta \sin \theta$ $= \frac{\epsilon_x + \epsilon_z}{2} + \frac{\epsilon_x - \epsilon_z}{2} \cos 2\theta + \frac{1}{2} \gamma_{xz} \sin 2\theta$ $\gamma_x = -(\epsilon_x - \epsilon_z) \sin 2\theta + \gamma_{xz} \cos 2\theta$	
<p>金属材料の応力・ひずみ関係</p> <p>単軸応力状態</p> <p>σ: 垂直応力 ε: 垂直ひずみ E: 繩弹性係数(ヤング率) σ_y: 降伏応力 ε_p: 塑性ひずみ ε_e: 弹性ひずみ ε: 全ひずみ(= ε_p + ε_e)</p>	
<p>応力集中</p>	
<p>き裂先端の応力場</p> <p>破壊力学: き裂を有する構造物の変形・破壊</p>	

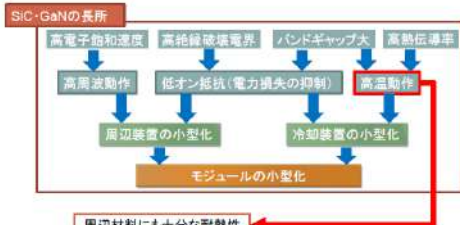
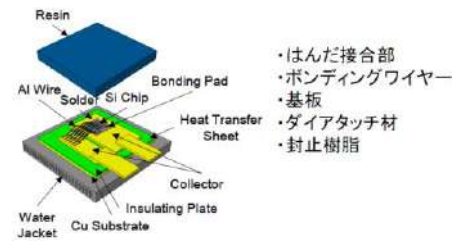
■ A10 【パワーモジュールの信頼性評価】渋谷講師

<h3>材料のじん性とエネルギー</h3> 	
<h3>応力特異場とエネルギー解放率</h3> 	
<h3>応力拡大係数と破壊非性</h3> 	
<h3>界面近傍における破壊</h3> 	
<h3>フリーエッジ効果</h3> 	

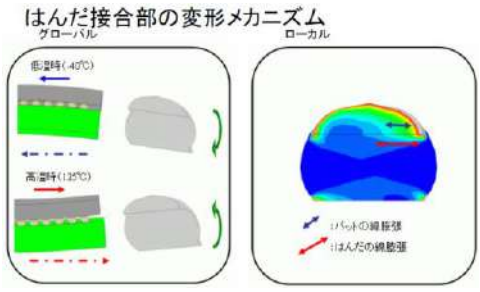
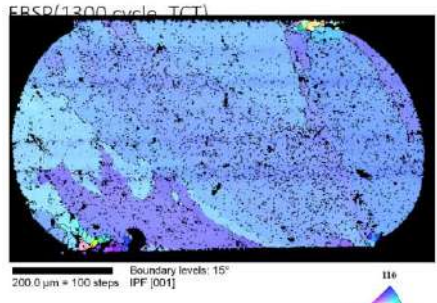
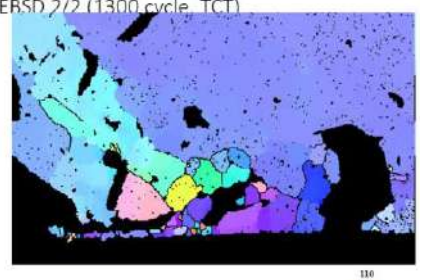
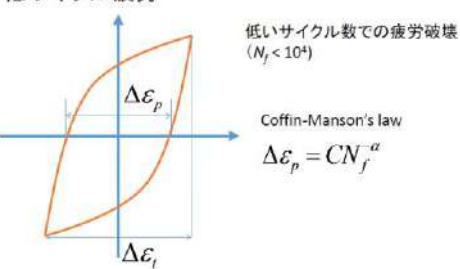
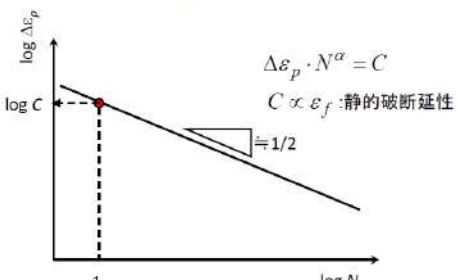
■ A10 【パワーモジュールの信頼性評価】渋谷講師

<h3>信頼性の基礎</h3> <p>✓信頼性工学 バスタブ曲線、破壊確率の算出</p> <p>✓材料強度の基礎 応力、ひずみ、応力集中、界面の効果、多軸応力状態</p>																																									
<h3>Power Electronics の基本要素</h3>  <p>W. E. Newell, "Power Electronics - emerging from limbo", IEEE Trans. On Industry Applications, Vol. IA-10, no. 1, pp. 7-121, 1974</p>																																									
<h3>Scope in Power Electronics Reliability</h3> 																																									
<table border="1"> <thead> <tr> <th></th> <th>第1世代 '07~'08</th> <th>第2世代 '08~'09</th> <th>第3世代 '10~'14</th> <th>第4世代 '15~'20</th> </tr> </thead> <tbody> <tr> <td>デバイス 形態</td> <td></td> <td></td> <td></td> <td>?</td> </tr> <tr> <td>デバイス 名</td> <td>Si</td> <td>Si</td> <td>Si</td> <td>SiC(GaN)?</td> </tr> <tr> <td>パワー密度</td> <td>5~20W/cm²</td> <td>20~30W/cm²</td> <td>30~80W/cm²</td> <td>100W/cm²</td> </tr> <tr> <td>使用温度</td> <td>125°C</td> <td>140°C</td> <td>150°C</td> <td>200~300 °C</td> </tr> <tr> <td>封止材</td> <td>耐熱性: 150°C 熱伝導率: 2.5W/mK 熱膨張率: -40ppm</td> <td>耐熱性: 200°C 熱伝導率: 5.0W/mK 熱膨張率: -40ppm</td> <td>耐熱性: 200°C 熱伝導率: 10W/mK 熱膨張率: -30ppm</td> <td>耐熱性: 300°C 熱伝導率: 15W/mK 熱膨張率: -15ppm</td> </tr> <tr> <td>信頼性 評価</td> <td>構造解析 電気・熱・構造 一貫設計手法確立</td> <td>電気・熱・構造 およびプロセス 一貫設計手法確立</td> <td>SiC素子を対象とした 新材料接合技術の 信頼性評価手法確立</td> <td></td> </tr> <tr> <td>接合技術</td> <td>材料: はんだ 方式: 溶融</td> <td>材料: 銀ワイヤーはんだ 方式: 溶融</td> <td>材料: 高温はんだ 方式: 溶融</td> <td>材料: Au, Ag/Al粒子 方式: 焼結</td> </tr> </tbody> </table>		第1世代 '07~'08	第2世代 '08~'09	第3世代 '10~'14	第4世代 '15~'20	デバイス 形態				?	デバイス 名	Si	Si	Si	SiC(GaN)?	パワー密度	5~20W/cm ²	20~30W/cm ²	30~80W/cm ²	100W/cm ²	使用温度	125°C	140°C	150°C	200~300 °C	封止材	耐熱性: 150°C 熱伝導率: 2.5W/mK 熱膨張率: -40ppm	耐熱性: 200°C 熱伝導率: 5.0W/mK 熱膨張率: -40ppm	耐熱性: 200°C 熱伝導率: 10W/mK 熱膨張率: -30ppm	耐熱性: 300°C 熱伝導率: 15W/mK 熱膨張率: -15ppm	信頼性 評価	構造解析 電気・熱・構造 一貫設計手法確立	電気・熱・構造 およびプロセス 一貫設計手法確立	SiC素子を対象とした 新材料接合技術の 信頼性評価手法確立		接合技術	材料: はんだ 方式: 溶融	材料: 銀ワイヤーはんだ 方式: 溶融	材料: 高温はんだ 方式: 溶融	材料: Au, Ag/Al粒子 方式: 焼結	
	第1世代 '07~'08	第2世代 '08~'09	第3世代 '10~'14	第4世代 '15~'20																																					
デバイス 形態				?																																					
デバイス 名	Si	Si	Si	SiC(GaN)?																																					
パワー密度	5~20W/cm ²	20~30W/cm ²	30~80W/cm ²	100W/cm ²																																					
使用温度	125°C	140°C	150°C	200~300 °C																																					
封止材	耐熱性: 150°C 熱伝導率: 2.5W/mK 熱膨張率: -40ppm	耐熱性: 200°C 熱伝導率: 5.0W/mK 熱膨張率: -40ppm	耐熱性: 200°C 熱伝導率: 10W/mK 熱膨張率: -30ppm	耐熱性: 300°C 熱伝導率: 15W/mK 熱膨張率: -15ppm																																					
信頼性 評価	構造解析 電気・熱・構造 一貫設計手法確立	電気・熱・構造 およびプロセス 一貫設計手法確立	SiC素子を対象とした 新材料接合技術の 信頼性評価手法確立																																						
接合技術	材料: はんだ 方式: 溶融	材料: 銀ワイヤーはんだ 方式: 溶融	材料: 高温はんだ 方式: 溶融	材料: Au, Ag/Al粒子 方式: 焼結																																					
																																									

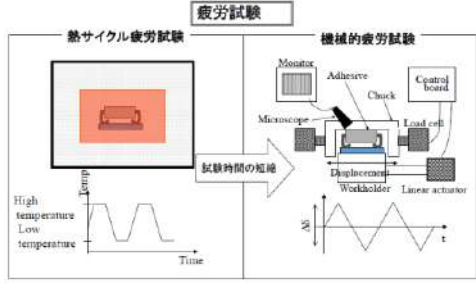
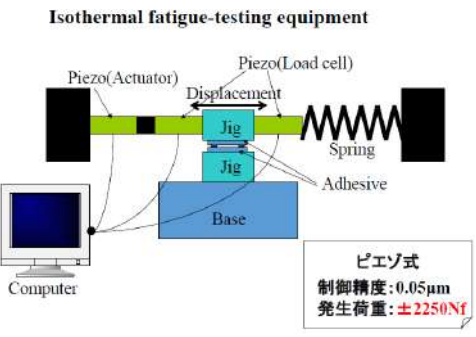
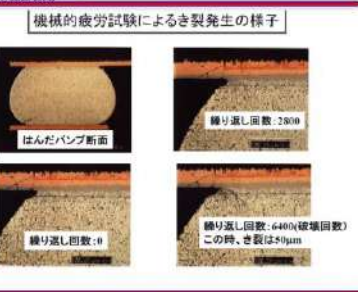
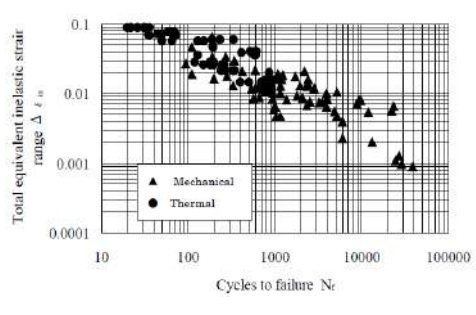
■ A10 【パワーモジュールの信頼性評価】渋谷講師

<h3>次世代パワー半導体</h3>  <pre> graph TD A[SiC·GaNの長所] --> B[高周波動作] A --> C[低オン抵抗(電力損失の抑制)] A --> D[高温動作] B --> E[周辺装置の小型化] C --> E D --> F[冷却装置の小型化] E --> G[モジュールの小型化] F --> G G --> H[周辺材料にも十分な耐熱性] H --> A </pre>																			
<h3>次世代パワー半導体実装の課題</h3> <p>SiCやGaNによる作動温度の高温化(200~300°C)</p> <ul style="list-style-type: none"> ✓ 材料の信頼性(耐熱性、疲労強度) ✓ 異種材料接合部の信頼性(線膨張係数差に起因したミスマッチの増大) ✓ 他の破壊モードの顕在化(クリープ破壊など) 																			
<h3>パワエレ実装信頼性の課題</h3> 																			
<h3>線膨張係数</h3> <table border="1"> <thead> <tr> <th>Materials</th> <th>CTE (ppm/K)</th> </tr> </thead> <tbody> <tr> <td>Bi-42Sn</td> <td>15</td> </tr> <tr> <td>Sn-37Pb</td> <td>21</td> </tr> <tr> <td>Sn-3.5Ag</td> <td>22-30</td> </tr> <tr> <td>95.5Sn-3.8Ag-0.7Cu</td> <td>17 (< 100 C)</td> </tr> <tr> <td>Cu</td> <td>16</td> </tr> <tr> <td>FR4</td> <td>13</td> </tr> <tr> <td>Si</td> <td>4.2</td> </tr> <tr> <td>AlN</td> <td>4.6</td> </tr> </tbody> </table>	Materials	CTE (ppm/K)	Bi-42Sn	15	Sn-37Pb	21	Sn-3.5Ag	22-30	95.5Sn-3.8Ag-0.7Cu	17 (< 100 C)	Cu	16	FR4	13	Si	4.2	AlN	4.6	
Materials	CTE (ppm/K)																		
Bi-42Sn	15																		
Sn-37Pb	21																		
Sn-3.5Ag	22-30																		
95.5Sn-3.8Ag-0.7Cu	17 (< 100 C)																		
Cu	16																		
FR4	13																		
Si	4.2																		
AlN	4.6																		
<h3>線膨張係数のミスマッチ</h3> <p>部品(線膨張係数: 小) $\varepsilon = (\alpha_{comp} - \alpha_{sub})\Delta T$</p> <p>基板(線膨張係数: 大)</p> <ul style="list-style-type: none"> ✓ 材料特性のミスマッチにより発生 ✓ 接合部(はんだ)の特性には無関係 ✓ 塑性変形の繰り返し 																			

■ A10 【パワーモジュールの信頼性評価】渋谷講師

	
	
	
<p>低サイクル疲労</p> 	
<p>Manson-Coffin則</p> 	

■ A10 【パワーモジュールの信頼性評価】渋谷講師

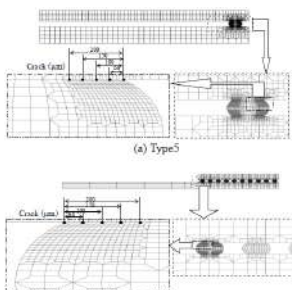
Mansonの共通勾配法	
<ul style="list-style-type: none"> ・破断ひずみと引張強度、ヤング率から推定 $\Delta\varepsilon_t = 3.5(\sigma_B/E)N_f^{-0.12} + \varepsilon_f^{0.6}N_f^{-0.6}$ <p style="text-align: center;">↓ ↓ ↓ 引張強度 ヤング率 破断延性 ↓ 破断時の伸びから算出</p>	
疲労試験 	
Isothermal fatigue-testing equipment 	
機械的疲労試験によるき裂発生の様子 	
	

■ A10 【パワーモジュールの信頼性評価】渋谷講師

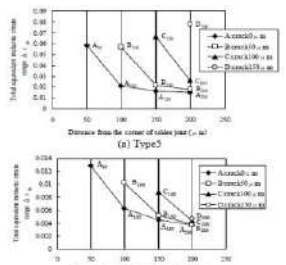
損傷被害則(マイナ一則)

- 実際の荷重: 様々な負荷変動の組み合わせ
- 変動荷重による疲労寿命の推定
累積被害則
- 接合部のき裂進展解析

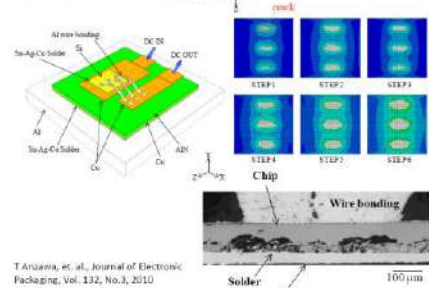
$$\sum_{i=1}^M \frac{n_i}{N_i} = 1$$



接合界面のき裂を模擬した解析モデル

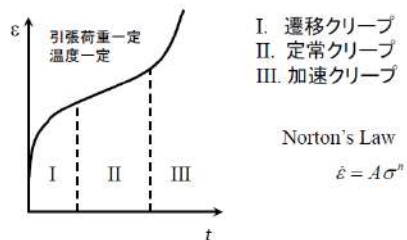
き裂の進行方向(接合界面)に対する各点近傍に生じる
非線形ひずみ振幅の平均値 $\Delta\epsilon_{av}$ の分布

パワーデバイスでの評価事例



T. Arikawa, et al., Journal of Electronic Packaging, Vol. 132, No.3, 2010

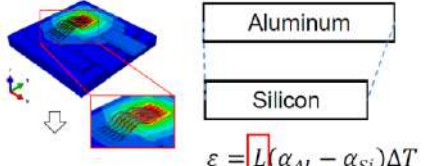
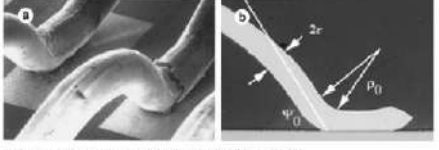
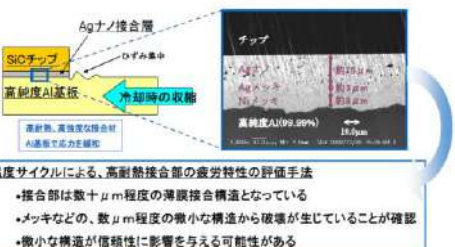
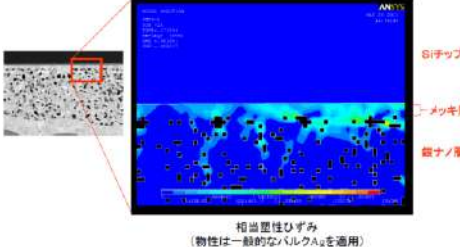
クリープ



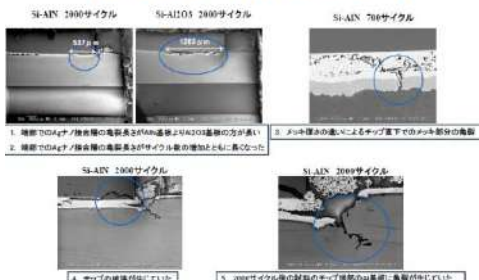
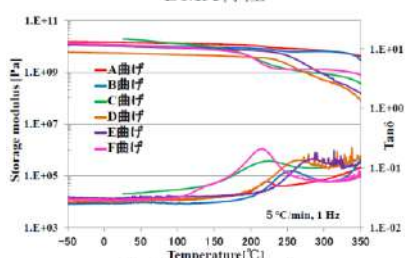
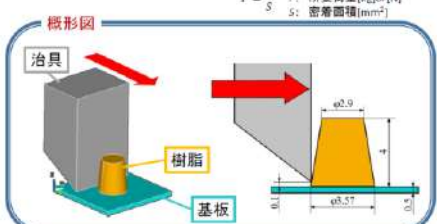
■ A10 【パワーモジュールの信頼性評価】渋谷講師

<p>Deformation map 単軸引張</p>	
<p>定応力クリープ試験</p>	
<p>クリープ定数(A)、指数(n)の求め方(ひずみ速度一定時)</p> <p>クリープ定数(A)、指数(n) 各温度においてひずみ速度が最小2パターンが必要</p>	
<p>クリープ定数(A)、指数(n)の求め方(保持時)</p> <p>各温度において1パターンのひずみ速度で クリープ材料特性(A,n)が求められる</p>	
<p>クリープ破壊</p> <ul style="list-style-type: none"> 高温低応力状態で発生する変形(クリープ) 粒界すべりや拡散により空洞(キヤビティ)の形成／成長 クリープき裂の発生 	

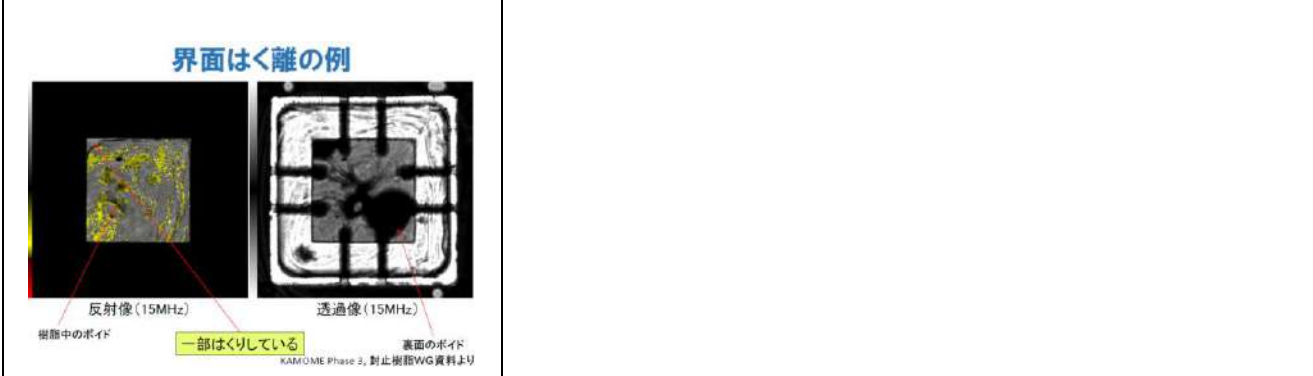
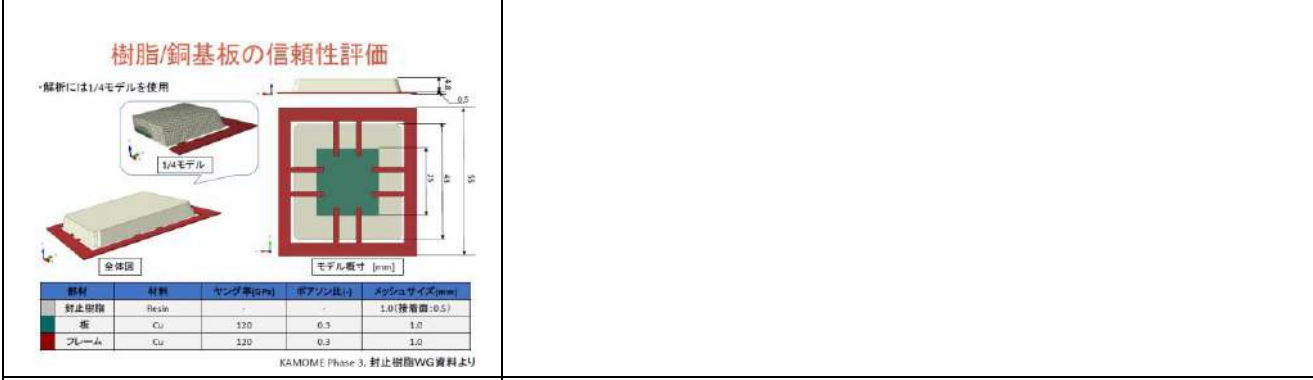
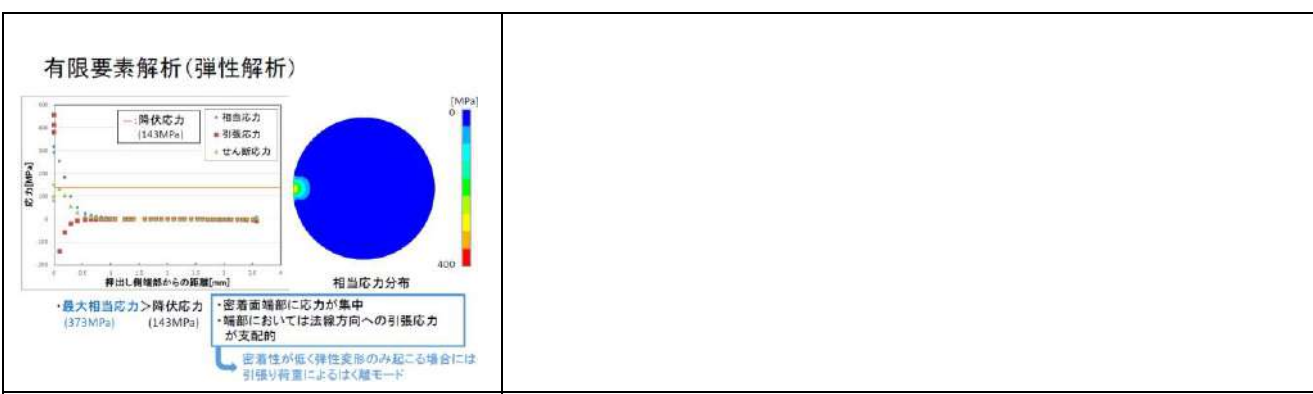
■ A10 【パワーモジュールの信頼性評価】渋谷講師

<h3>Bonding wire lift-off</h3>  $\varepsilon = L(\alpha_{Al} - \alpha_{Si})\Delta T$ <p>Typical length of the joint*</p> <p>M. Ciappa / Microelectronics Reliability 42 (2002) 653-657</p>	
<h3>Bonding wire heel cracking</h3>  $\varepsilon_f = \frac{r}{P_0} \left(\frac{\cos^{-1}(\cos \Psi_0)(1 - \Delta T \Delta \alpha)}{\Psi_0} - 1 \right)$ <p>M. Ciappa / Microelectronics Reliability 42 (2002) 653-657</p>	
<h3>Die attach 接合材の信頼性</h3> <ul style="list-style-type: none"> ✓高温材料の多様化 ✓はんだ接合 ✓Agナノシンター材 	
<h3>Agシンター接合材</h3>  <p>温度サイクルによる、高耐熱接合部の疲労特性の評価手法</p> <ul style="list-style-type: none"> •接合部は数十 μm程度の薄膜接合構造となっている •ヌキなどの、数 μm程度の微小な構造から破壊が生じていることが確認 •微小な構造が信頼性に影響を与える可能性がある 	
<h3>Agシンター材の構造解析</h3>  <p>相当量性ひずみ (物性は一般的なハイレグHを適用)</p>	

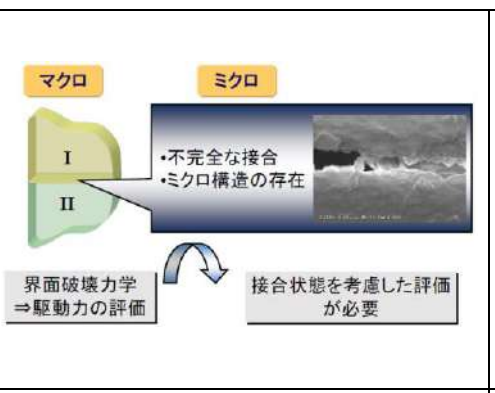
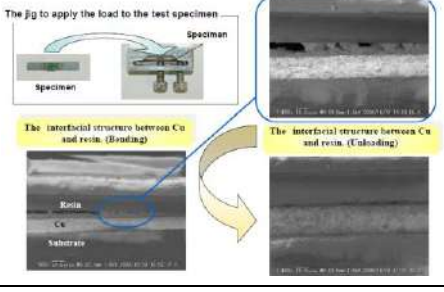
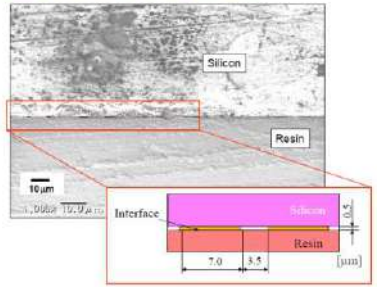
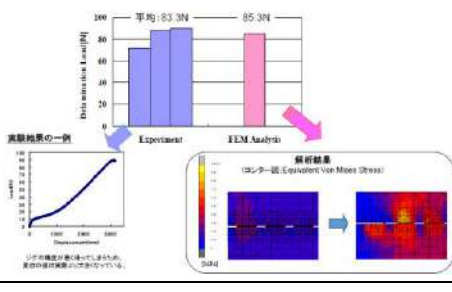
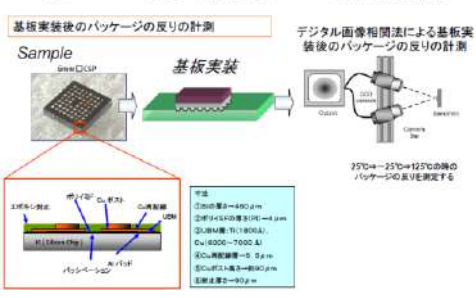
■ A10 【パワーモジュールの信頼性評価】渋谷講師

<h3>Agシンター材の破壊モード</h3>  <p>SI-AIN 2000サイクル SI-AIN 1000サイクル SI-AIN 700サイクル SI-AIN 200サイクル SI-AIN 2000サイクル</p> <p>1. 線部でAgナノ粒子の電荷異性がN2O3基板の方が多い。 2. 線部でAgナノ粒子間の電荷異性がサイクル数とともに高くなった。 3. チップ剥離の際にによるサップ基板下にカメリ部分の発生。 4. サップの破壊が生じていた。 5. 200サイクル後の試料のチップ剥離の位置間に発生が生じていた。</p>																																
<h3>封止樹脂の信頼性</h3> <ul style="list-style-type: none"> ✓ 伸びは数%程度。塑性挙動はほとんど見られない。 ⇒熱膨張係数による強制的なひずみに対して不利。 ✓ プロセス依存性が大きい。界面の接合状態は不完全接合状態になる。 ⇒界面密着評価が複雑になる。 																																
<p>Table Mechanical properties</p> <table border="1" data-bbox="147 977 595 1201"> <thead> <tr> <th rowspan="2">Sample</th> <th colspan="3">Flexural properties</th> </tr> <tr> <th>Strength [MPa]</th> <th>Modulus [GPa]</th> <th>B.E. [%]</th> </tr> </thead> <tbody> <tr> <td>A¹⁾</td> <td>143</td> <td>16.8</td> <td>1.40</td> </tr> <tr> <td>B¹⁾</td> <td>94</td> <td>12.1</td> <td>1.26</td> </tr> <tr> <td>C¹⁾</td> <td>123</td> <td>12.5</td> <td>1.75</td> </tr> <tr> <td>D²⁾</td> <td>112</td> <td>9.6</td> <td>0.80</td> </tr> <tr> <td>E²⁾</td> <td>132</td> <td>9.8</td> <td>0.92</td> </tr> <tr> <td>F¹⁾</td> <td>122</td> <td>11.8</td> <td>2.00</td> </tr> </tbody> </table> <p>1) Size of specimens flexural tested: 41.5×10.00×2.00mm 2) Size of specimens flexural tested: 41.5×10.00×4.00mm</p> <p>KAMOME Phase 3, 封止樹脂WG資料より</p>	Sample	Flexural properties			Strength [MPa]	Modulus [GPa]	B.E. [%]	A ¹⁾	143	16.8	1.40	B ¹⁾	94	12.1	1.26	C ¹⁾	123	12.5	1.75	D ²⁾	112	9.6	0.80	E ²⁾	132	9.8	0.92	F ¹⁾	122	11.8	2.00	
Sample		Flexural properties																														
	Strength [MPa]	Modulus [GPa]	B.E. [%]																													
A ¹⁾	143	16.8	1.40																													
B ¹⁾	94	12.1	1.26																													
C ¹⁾	123	12.5	1.75																													
D ²⁾	112	9.6	0.80																													
E ²⁾	132	9.8	0.92																													
F ¹⁾	122	11.8	2.00																													
<h3>DMA特性</h3>  <p>Fig. DMA charts of resins 試料厚さ (D,E:4mm, 他 2mm)</p>																																
<h3>密着強度試験概要</h3> <p>解析対象: ブリンカッブ試験</p> <p>治具を用いて水平に押出し 樹脂と基板の界面をせん断分離</p> <p>概形図</p> <p>試験条件: $P = \frac{F}{S}$ P: 密着強度(kg/mm²)or(MPa) F: 所要荷重(kg)or[N] S: 密着面積(mm²)</p> 																																

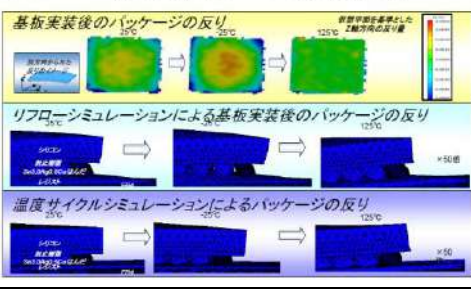
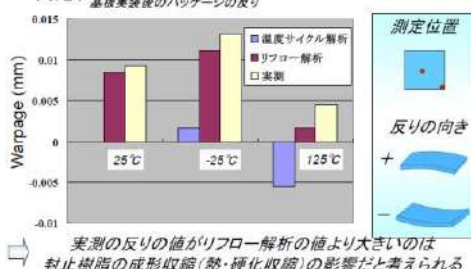
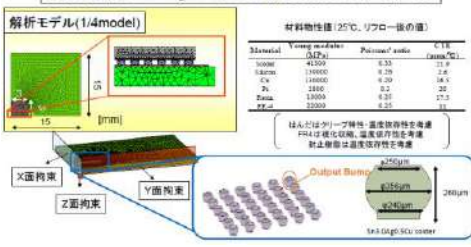
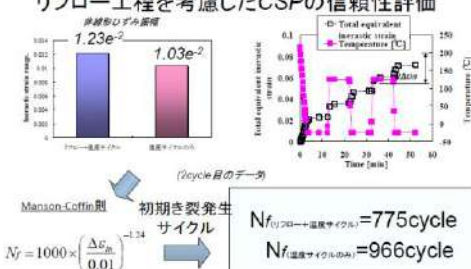
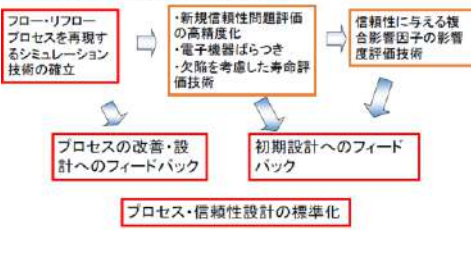
■ A10 【パワーモジュールの信頼性評価】渋谷講師



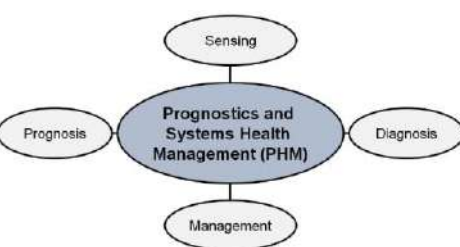
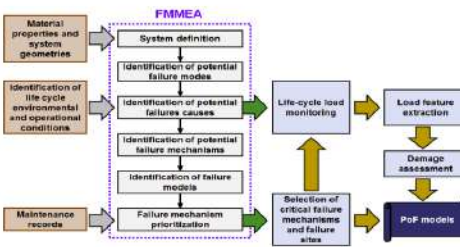
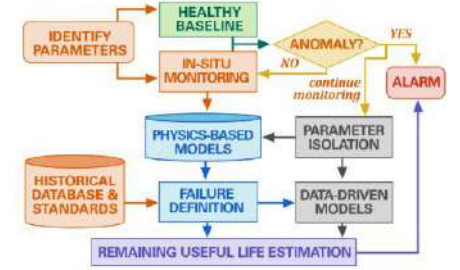
■ A10 【パワーモジュールの信頼性評価】渋谷講師

 <p>マクロ ミクロ</p> <p>I II</p> <ul style="list-style-type: none"> ・不完全な接合 ・ミクロ構造の存在 <p>界面破壊力学 ⇒駆動力の評価</p> <p>接合状態を考慮した評価 が必要</p>	
<p>Observation of Interfacial Structure</p>  <p>The jig to apply the load to the test specimen</p> <p>Specimen</p> <p>The interfacial structure between Cu and resin. (Bonding)</p> <p>Resin Cu Substrate</p> <p>The interfacial structure between Cu and resin. (Unloading)</p>	
<p>樹脂-シリコンの接合層の観察</p>  <p>Silicon</p> <p>Resin</p> <p>Interface</p> <p>7.0 3.5 0.5 [μm]</p>	
<p>実験と解析結果の比較</p>  <p>実験結果の一例</p> <p>平均: 83.3 N 85.3 N</p> <p>解析結果</p> <p>(シミュレーションによる応力分布)</p> <p>シミュレーションによる応力分布</p>	
<p>リフロー工程を考慮したCSPの信頼性評価</p>  <p>基板実装後のパッケージの反りの計測</p> <p>Sample</p> <p>基板実装</p> <p>デジタル面骨相関法による基板実装後のパッケージの反りの計測</p> <p>250°C→25°C→125°Cの時 のパッケージの反りを測定する</p> <p>寸法 ①基板厚さ=400 μm ②引張り側の高さ(R)=4 μm ③引張り側の低さ(L)=1800 μm ④Cu膜厚=700 μm ⑤Cu表面距離=9.5 μm ⑥Cu上部高さ=180 μm ⑦測定誤差=±0.5 μm</p>	

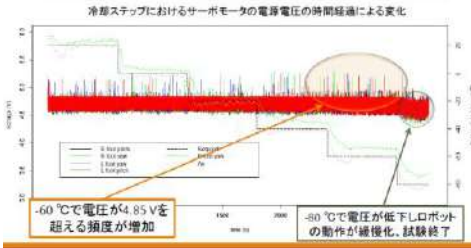
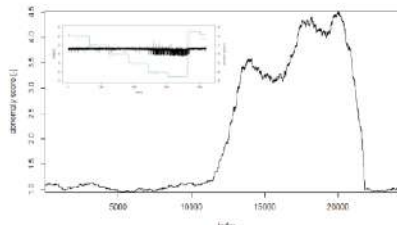
■ A10 【パワーモジュールの信頼性評価】渋谷講師

<p>リフロー工程を考慮したCSPの信頼性評価</p> 	
<p>リフロー工程を考慮したCSPの信頼性評価 (4/6) 基板実装後のパッケージの反り</p>  <p>実測の反りの値がリフロー解析の値より大きいのは 封止樹脂の成形収縮(熱・硬化収縮)の影響だと考えられる</p>	
<p>リフロー工程を考慮したCSPの信頼性評価</p> <p>リフロープロセスを考慮した温度サイクル解析と温度サイクルのみの解析をそれぞれ行い、Sn3.0Ag0.5Cuはんだの初期き裂発生サイクルを求める。</p> 	
<p>リフロー工程を考慮したCSPの信頼性評価</p>  <p>初期き裂発生サイクル $N_f = 1000 \times \left(\frac{\Delta \sigma_m}{0.01} \right)^{-1.24}$</p> <p>$N_f_{\text{リフロー+温度サイクル}} = 775 \text{cycle}$ $N_f_{\text{温度サイクルのみ}} = 966 \text{cycle}$</p>	
<p>全プロセスを考慮した評価技術</p> 	

■ A10 【パワーモジュールの信頼性評価】渋谷講師

<h3>パワーエレクトロニクスの故障モード</h3> <ul style="list-style-type: none"> ✓ 接合部の高温強度 はんだ接合、ボンディングワイヤー ✓ 接合部の多様化 高温はんだ、Agシンタ一材 ✓ 封止樹脂の信頼性 材料の耐熱性、密着強度 																
<h3>実装信頼性の課題と将来</h3> <table border="1" data-bbox="155 646 615 909"> <thead> <tr> <th></th> <th>Current</th> <th>Future</th> </tr> </thead> <tbody> <tr> <td>信頼性試験</td> <td>想定されたモードを対象とする信頼性試験(MIL規格等)</td> <td>想定外を考慮した極限環境試験による脆弱性診断</td> </tr> <tr> <td>維持管理技術</td> <td>定期点検(TBM)、状態監視(CBM)</td> <td>使用環境を考慮した故障予知(リスクベース)</td> </tr> <tr> <td>余寿命診断</td> <td>想定された負荷に対する定量評価</td> <td>モニタリングによる想定外の負荷にも対応した評価</td> </tr> <tr> <td>IoT社会への対応</td> <td>個々の信頼性のボトルアップにより信頼性を確保</td> <td>異なる電子製品間の複合的な故障も考慮した診断手法の開発</td> </tr> </tbody> </table>		Current	Future	信頼性試験	想定されたモードを対象とする信頼性試験(MIL規格等)	想定外を考慮した極限環境試験による脆弱性診断	維持管理技術	定期点検(TBM)、状態監視(CBM)	使用環境を考慮した故障予知(リスクベース)	余寿命診断	想定された負荷に対する定量評価	モニタリングによる想定外の負荷にも対応した評価	IoT社会への対応	個々の信頼性のボトルアップにより信頼性を確保	異なる電子製品間の複合的な故障も考慮した診断手法の開発	
	Current	Future														
信頼性試験	想定されたモードを対象とする信頼性試験(MIL規格等)	想定外を考慮した極限環境試験による脆弱性診断														
維持管理技術	定期点検(TBM)、状態監視(CBM)	使用環境を考慮した故障予知(リスクベース)														
余寿命診断	想定された負荷に対する定量評価	モニタリングによる想定外の負荷にも対応した評価														
IoT社会への対応	個々の信頼性のボトルアップにより信頼性を確保	異なる電子製品間の複合的な故障も考慮した診断手法の開発														
<h3>PHMの基本要素</h3>  <pre> graph TD Sensing((Sensing)) --- PHM((Prognostics and Systems Health Management (PHM))) Prognosis((Prognosis)) --- PHM Diagnosis((Diagnosis)) --- PHM Management((Management)) --- PHM </pre>																
<h3>FMMEAによる故障予知</h3>  <pre> graph TD subgraph FMMEA [FMMEA] direction TB A[Material properties and system geometries] --> B[System definition] C[Identification of life cycle environmental and operational conditions] --> B D[Maintenance records] --> B B --> E[Identification of potential failure modes] E --> F[Identification of potential failure causes] F --> G[Identification of potential failure mechanisms] G --> H[Identification of failure modes] H --> I[Failure mechanism prioritization] I --> J[Life-cycle load monitoring] J --> K[Load feature extraction] K --> L[Damage assessment] L --> M[PoF models] I --> M end </pre>																
<h3>モニタリングを取り入れた故障予知</h3>  <pre> graph TD A[IDENTIFY PARAMETERS] --> B[HEALTHY BASELINE] B --> C[IN-SITU MONITORING] C --> D[ANOMALY?] D -- NO --> E[continue monitoring] D -- YES --> F[ALARM] E --> G[PARAMETER ISOLATION] G --> H[FAILURE DEFINITION] H --> I[DATA-DRIVEN MODELS] I --> J[REMAINING USEFUL LIFE ESTIMATION] J --> K[HISTORICAL DATABASE & STANDARDS] K --> L[FAILURE DEFINITION] L --> M[DATA-DRIVEN MODELS] M --> N[REMAINING USEFUL LIFE ESTIMATION] </pre>																

■ A10 【パワーモジュールの信頼性評価】渋谷講師

<h3>High Accelerated Limit Test (HALT)</h3>  <p>特徴</p> <ul style="list-style-type: none"> 設計段階での製品に潜む弱点の顕在化 製品の部品ごとでなくシステム全体としての評価 信頼性試験に比べて短期間での評価 (市場不良の再現) 											
<h3>HALTの一般的な手順</h3> <table border="1"> <tbody> <tr> <td>冷却ステップ</td> <td> <ul style="list-style-type: none"> -10 °C/10 min, -100 °Cまで降温可能 このステップで製品の低温側の限界を調べる </td> </tr> <tr> <td>加熱ステップ</td> <td> <ul style="list-style-type: none"> +10 °C/10 min, +200 °Cまで昇温可能 このステップで製品の高温側の限界を調べる </td> </tr> <tr> <td>振動ステップ</td> <td> <ul style="list-style-type: none"> 10 G_{rms}/10 min, 90 G_{rms}まで振動の印加が可能 このステップで製品の振動に対する限界を調べる </td> </tr> <tr> <td>温度急変ステップ</td> <td> <ul style="list-style-type: none"> 高温側は高温限界-10 °C, 低温側は低温限界+10 °Cの範囲で熱衝撃を与える </td> </tr> <tr> <td>複合ステップ</td> <td> <ul style="list-style-type: none"> 温度急変ステップと振動ステップを同時に実行 </td> </tr> </tbody> </table>	冷却ステップ	<ul style="list-style-type: none"> -10 °C/10 min, -100 °Cまで降温可能 このステップで製品の低温側の限界を調べる 	加熱ステップ	<ul style="list-style-type: none"> +10 °C/10 min, +200 °Cまで昇温可能 このステップで製品の高温側の限界を調べる 	振動ステップ	<ul style="list-style-type: none"> 10 G_{rms}/10 min, 90 G_{rms}まで振動の印加が可能 このステップで製品の振動に対する限界を調べる 	温度急変ステップ	<ul style="list-style-type: none"> 高温側は高温限界-10 °C, 低温側は低温限界+10 °Cの範囲で熱衝撃を与える 	複合ステップ	<ul style="list-style-type: none"> 温度急変ステップと振動ステップを同時に実行 	
冷却ステップ	<ul style="list-style-type: none"> -10 °C/10 min, -100 °Cまで降温可能 このステップで製品の低温側の限界を調べる 										
加熱ステップ	<ul style="list-style-type: none"> +10 °C/10 min, +200 °Cまで昇温可能 このステップで製品の高温側の限界を調べる 										
振動ステップ	<ul style="list-style-type: none"> 10 G_{rms}/10 min, 90 G_{rms}まで振動の印加が可能 このステップで製品の振動に対する限界を調べる 										
温度急変ステップ	<ul style="list-style-type: none"> 高温側は高温限界-10 °C, 低温側は低温限界+10 °Cの範囲で熱衝撃を与える 										
複合ステップ	<ul style="list-style-type: none"> 温度急変ステップと振動ステップを同時に実行 										
<h3>実施例</h3> <p>試料・装置</p> <p>HALT, 電圧計, 小型ロボット(Rapiro), 熱電対</p> <p>※Rapiroはマイコン(Arduino), サーボモータ, 距離センサ, 外套からなるロボット</p>  <p>実験方法</p> <ul style="list-style-type: none"> 低温ステップで温度は20 °Cから-20 °C / 10 minで変化させた ロボットの目的の機能を歩行としHALT装置内で歩行させた 歩行に障害が発生した場合は試験を終了し条件を記録した 足のサーボモータの電源電圧を電圧計、表面温度を熱電対で測定した 											
<h3>実施例</h3> <p>冷却ステップにおけるサーボモータの電源電圧の時間経過による変化</p>  <p>-60 °Cで電圧が4.85 Vを超える頻度が増加</p> <p>-80 °Cで電圧が低下しロボットの動作が継続化、試験終了</p>											
<h3>機械学習による異常検知</h3> 											

■ A10 【パワーモジュールの信頼性評価】渋谷講師

<p>HALTの特徴*</p> <ul style="list-style-type: none"> • 従来の信頼性試験では見逃されていた試料の弱点の顕在化 • 試料の部品ごとでなくシステム全体としての評価 • 故障(フィールド環境)の再現可能性 <p><small>*益田昭彦,未然防止技術におけるHALT/HASS,エレクトロニクス実装学会 Vol. 11 No. 5, 2008</small></p>	
<p>まとめ(信頼性)</p> <ul style="list-style-type: none"> ➤ 信頼性工学の基礎 ➤ パワーエレクトロニクス実装について顕在化している信頼性 主に接合部の強度と樹脂の密着性 ➤ 次世代デバイスのための信頼性評価技術 	